

Master Fortgeschrittenen Praktikum

---

# STED-Mikroskopie

---

Praktikant: Philip Marszal

Prüfer: Prof. S. Hell

Betreuer: F. Kleißler

Durchgeführt: 20.01.16

E-Mail: philip.marszal@stud.uni-goettingen.de



# Inhaltsverzeichnis

# 1 Einleitung

## **2 Theorie**

### 3 Durchführung

### 4 Durchführung

Das Phänomen der Rayleigh-Benard-Konvektion wird sowohl numerisch als auch experimentell untersucht.

#### 4.1 Simulation

Mithilfe des Programms *Comsol Multiphysics* wird die Rayleigh-Benard-Konvektion in einer zweidimensionalen Box simuliert. Die Simulation wird für die Rayleigh-Zahlen  $10^3$ ,  $10^4$ ,  $10^5$  und  $10^6$  durchgeführt. Ausgegeben werden dabei die Temperatur- und Geschwindigkeitsprofile entlang der Achse durch die Mitte der Box.

Zudem wird die Nusselt-Zahl als das Integral des Wärmegradienten über die Grenzfläche der Box bestimmt.

#### 4.2 Experimentelle Betrachtung

##### 4.2.1 Schattenwurfmethode

Zunächst wird die Dynamik des Fluids im Versuchsaufbau, visuell beschrieben. Dazu wird die Glasbox so beleuchtet, dass auf einer Seite durch die Plumes erzeugte Schatten zu erkennen sind. Die Schatten entstehen durch die Brechung des Lichts an starken Dichtegradienten des Fluids, die Folge von Temperaturunterschieden sind.

Die Geschwindigkeit der Plumes wird mithilfe einer Stoppuhr gemessen. Es werden sowohl auf einer Seite aufsteigende warme Plumes, als auch auf der anderen Seite fallende kalte Plumes gemessen.

Die Strecke über die gemessen wird beträgt ca. 2.5 cm. Für jede Seite werden 10 Messwerte gesammelt.

##### 4.2.2 Beweglicher Thermistor

Das Temperatur- und Geschwindigkeitsprofil des Fluids wird nun mit einem einzelnen Thermistor bestimmt. Der Thermistor wird zunächst direkt an der warmen Platte in der Mitte der Box positioniert. Mit einem bereitgestellten Messprogramm werden nun 2048 Messwerte der Temperatur mit einer Abtastfrequenz von 11.5 Hz aufgenommen.

Dann wird der Thermistor um 1 cm nach oben verschoben, und eine Messung für die neue Höhe gestartet. Dies wird bis zu einer Höhe von 10 cm durchgeführt.

Für die ersten 1.5 cm werden die Messungen alle 0.1 cm durchgeführt. Für die Bestimmung der thermischen Grenzschicht wird zudem eine noch höhere Auflösung benötigt, weswegen zusätzliche Messwerte bei 0.05, 0.15, 0.25 und 0.35 cm aufgenommen werden, die allerdings nur aus 512 Messpunkten bestehen.

### 4.2.3 Thermistorarray

Anschließend wird eine lange Messung mit einem Thermistorarray aus sechs Thermistoren durchgeführt. Mit allen Thermistoren wird über 30 Stunden hinweg die Temperatur gemessen. Aus der zeitlichen Korrelation der Messwerte der einzelnen Thermistoren lässt sich die Geschwindigkeit von Plumes bestimmen.

## 5 Auswertung

### 5.1 Schattenspiel

Die Temperaturen der Heiz- und Kühlplatte wurden zu 11.05 °C und 19.84 °C bestimmt. Daraus und aus den Abmessungen der Zelle wird die Rayleighzahl nach ?? zu ca.  $Ra = 1.01 \cdot 10^9$  bestimmt.

Die Messung der Geschwindigkeiten der Plume-Schatten ergibt für aufsteigende Plumes  $0.50(1) \text{ cm s}^{-1}$ , und für fallende Plumes ergibt sich eine mittlere Geschwindigkeit von  $0.71(2) \text{ cm s}^{-1}$ . Für die Berechnung der Reynoldszahl wird nur die Messung für die aufsteigenden Plumes herangezogen, da es bei der Messung der fallenden Plumes zu einem systematischen Fehler durch die Fokusebene der Beleuchtung kommt. Es ergibt sich eine Reynoldszahl von  $Re = 10^3$ .

### 5.2 Vorbereitung: Thermistor

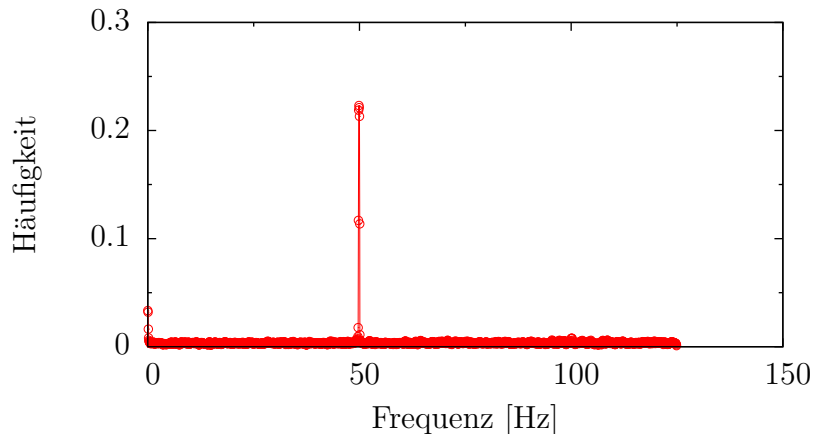
Da Geschwindigkeit der Plumes über eine Fouriertransformation der gemessenen Temperatur bestimmt wird, können Fehler in der Messung durch den Einfluss von Störfrequenzen auf die Thermistoren auftreten. Um mögliche Störfrequenzen zu identifizieren, wird zunächst eine Messung mit einer Abtastfrequenz von 250 Hz durchgeführt. Diese kann Störfrequenzen von 0 bis 250 Hz aufdecken.

Eine starke, wenn auch zu erwartende, Störung tritt bei 50 Hz auf, und wird durch das Stromnetz verursacht (siehe ??). Durch Gleichung (1) kann nun eine Abtastfrequenz gewählt werden, die das Auftreten der Störfrequenz in der Messung so verschiebt, dass die Messergebnisse unbeeinflusst bleiben. Deswegen wurde die Abtastfrequenz als 11.5 Hz gewählt.

$$|f_{\text{real}} - f_{\text{measured}}| = \left\lfloor \frac{f_{\text{real}}}{f_{\text{max}}} \right\rfloor \cdot f_{\text{max}}. \quad (1)$$

### 5.3 Temperaturmessungen

Aus den Messungen der Temperatur als Funktion des Abstandes ergibt sich das in ?? dargestellte Temperaturprofil. Es ist sowohl das Ergebnis der Messung mit dem beweglichen Thermistor, als auch die Messung der Temperatur mit dem



**Abbildung 1:** Ergebnis der Suche nach Störfrequenzen mit einer Abtastrate von 250 Hz. Die einzige erkennbare Störfrequenz liegt bei 50 Hz und wird durch das Stromnetz verursacht.

Thermistor-Array zu sehen. ?? hingegen zeigt allein die Messung mit dem Thermistorarray.

Aus dem Temperaturprofil lässt sich die Nusseltzahl, über die thermische Grenzschicht bestimmen. Der bestimmte Schnittpunkt der beiden in ?? zu sehenden Fits liegt bei einem Abstand von 0.25(40) cm. Nach ?? ergibt sich dies zu einer Nusseltzahl von  $Nu = 40(7)$ .

Die in ???? dargestellten Profile lassen sich mit den aus der Simulation gewonnenen Profilen für unterschiedliche Rayleighzahlen vergleichen. Diese sind in ?? dargestellt.

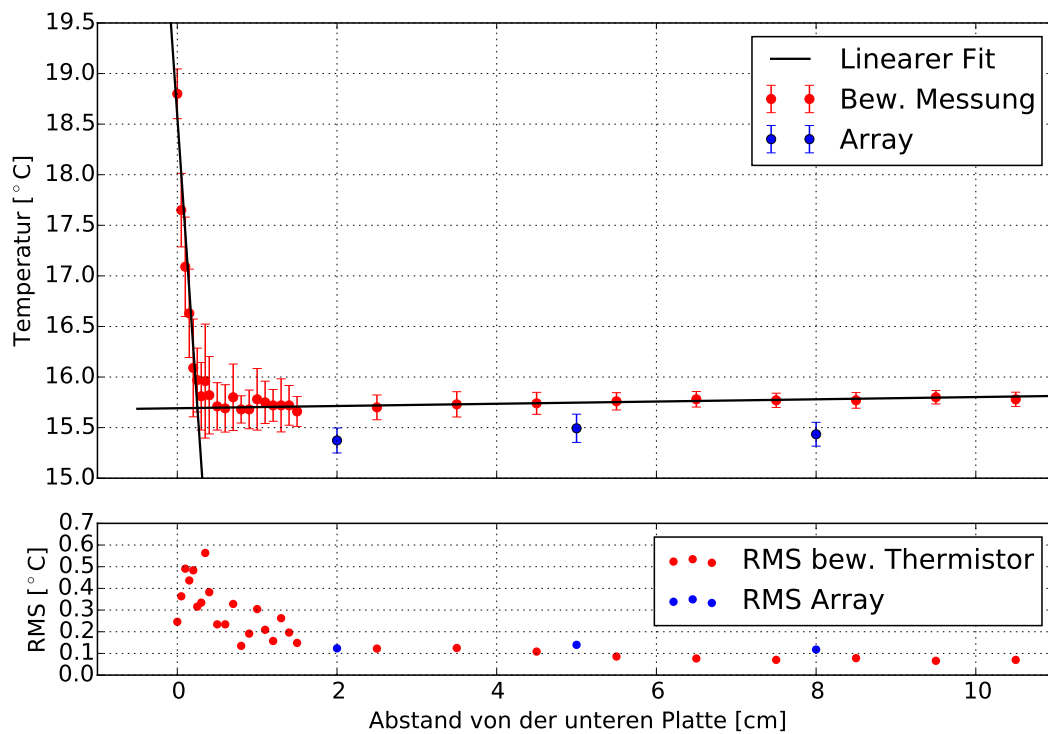
Für die 30-stündige Messung ist es interessant die Verteilung der Messwerte zu betrachten. ?? zeigt Histogramme der gemessenen Werte über die gesamte Messreihe hinweg. Man erkennt, dass das Maximum der Verteilungen für jeden Thermistor in etwa bei der gleichen Temperatur 15.5 °C liegt. Allerdings kommt es durch die Nähe zur Heiz- bzw. Kühlplatte zu häufigen Messungen von Temperaturen mit einer starken Abweichung vom Maximum. Der Thermistor in der Nähe der Heizplatte misst häufiger Temperaturen über der Durchschnittstemperatur, während beim Thermistor an der Kühlplatte häufiger niedrigere Temperaturen gemessen werden. Dieser Effekt lässt sich abgeschwächt auch in den weiter entfernten Thermistoren erkennen.

## 5.4 Geschwindigkeitsprofile

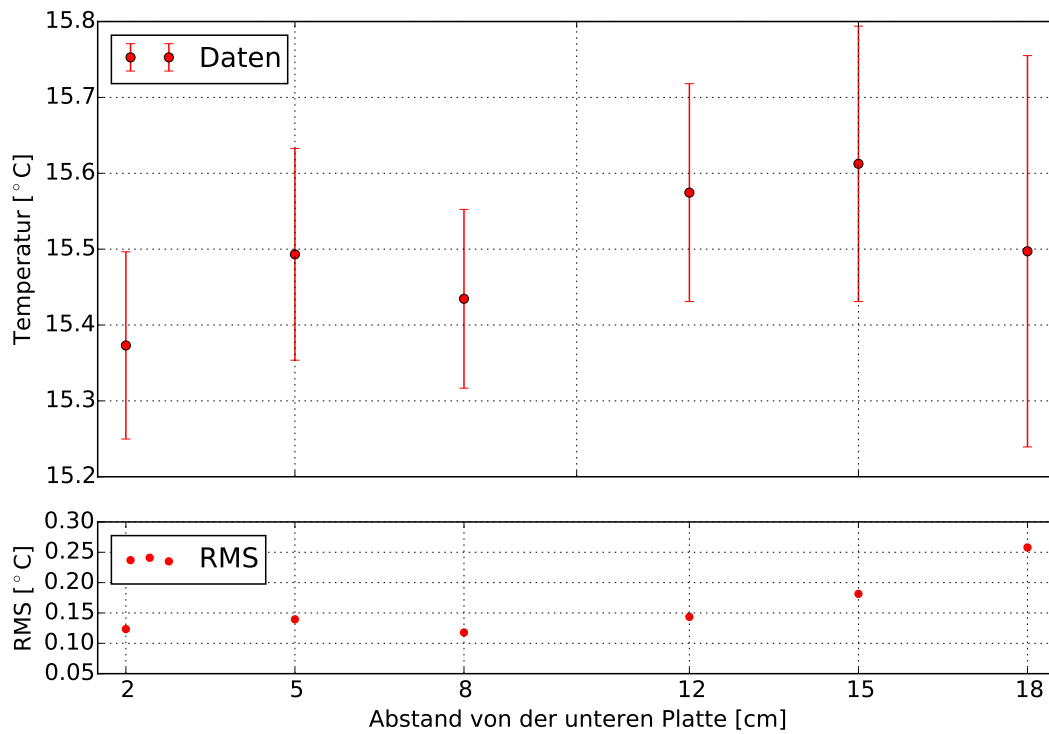
Über die Messung der Temperatur mit dem beweglichen Thermistor lässt sich das Geschwindigkeitsprofil der Zelle ermitteln. Dazu wird ausgenutzt, dass entstehende Plumes in etwa dem Verlauf der Konvektionswalze folgen, und in erster Näherung die gleiche Geschwindigkeit besitzen.

In der mit dem Thermistor an einer Höhe aufgenommenen Zeitreihe sind Plumes als ein vorübergehender Anstieg bzw. Abfall der Temperatur zu erkennen. Die

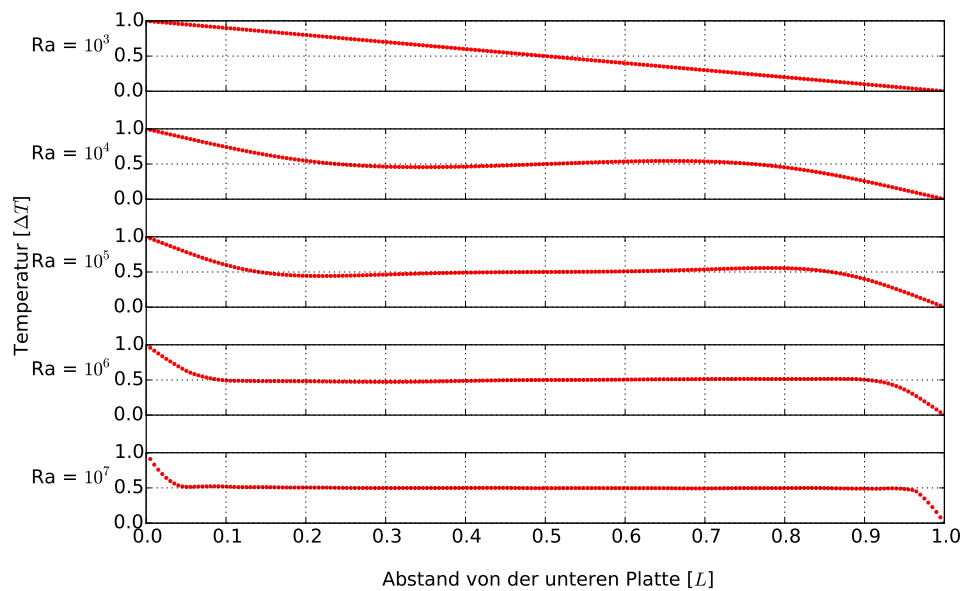




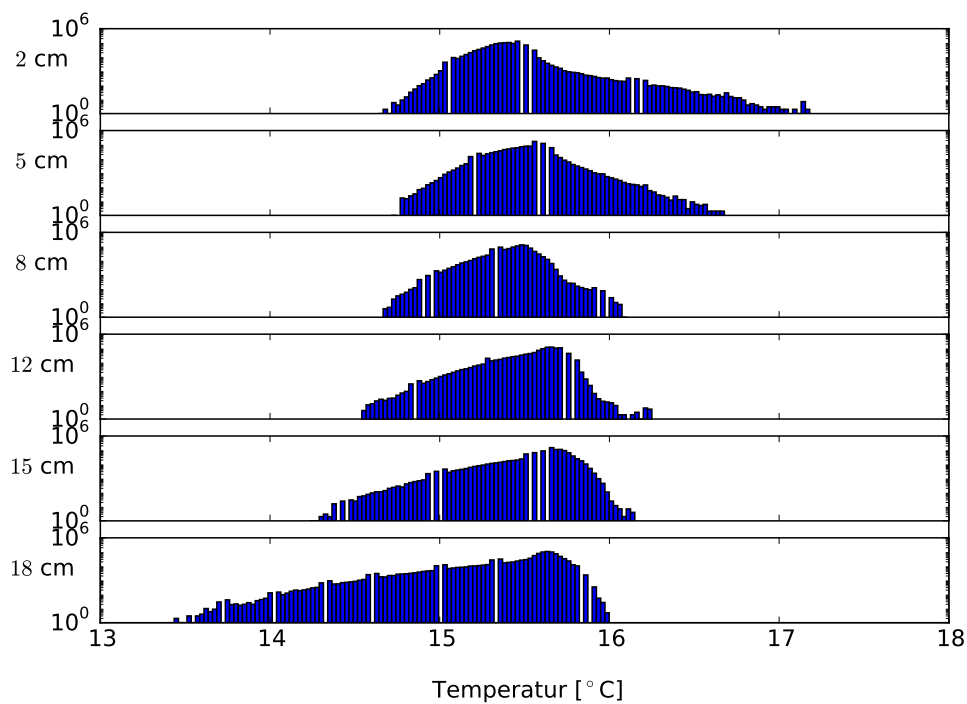
**Abbildung 2:** Temperaturprofil der unteren Hälfte der Zelle, als Funktion des Abstandes von der Heizplatte. Zu sehen ist die vollständige Messreihe mittels beweglichem Thermistor, und die ersten drei Messwerte des Thermistorarrays. Zur Bestimmung der thermischen Grenzschicht wurde der Schnittpunkt zweier linearer Fits bestimmt.



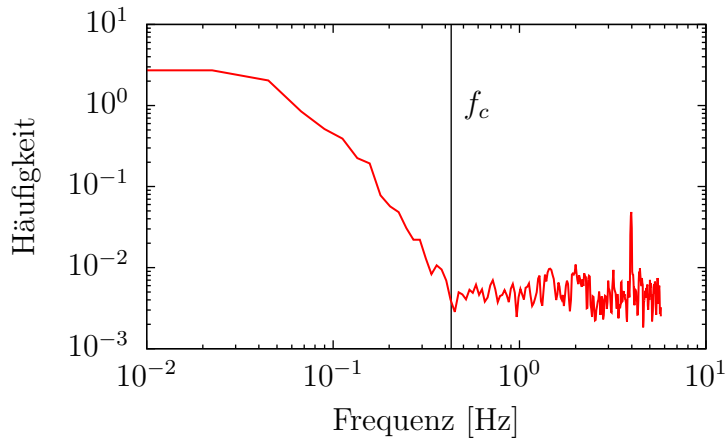
**Abbildung 3:** Messungen des Temperaturprofils mithilfe des Thermistorarrays. Zu sehen sind die Mittelwerte der 30-stündigen Messung, für jeden Thermistor bzw. seine Position.



**Abbildung 4:** Temperaturprofile einer Rayleigh-Benard-Zelle zu verschiedenen Rayleighzahlen.



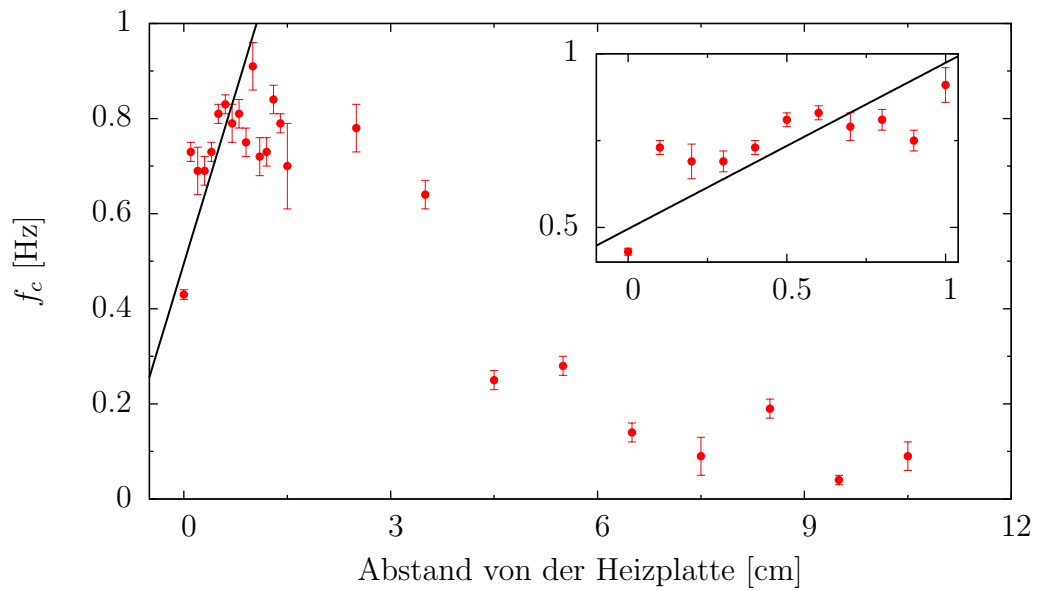
**Abbildung 5:** Verteilung der Messwerte der einzelnen Thermistoren als Funktion der Temperatur. Der Abstand bezeichnet den Abstand von der Heizplatte. Die Histogramme sind auf einer logarithmischen Skala aufgetragen. Bei den Lücken in den Histogrammen, handelt es sich um Fehler, die Messwerte aus diesen Boxen auf die benachbarten Boxen verteilen.



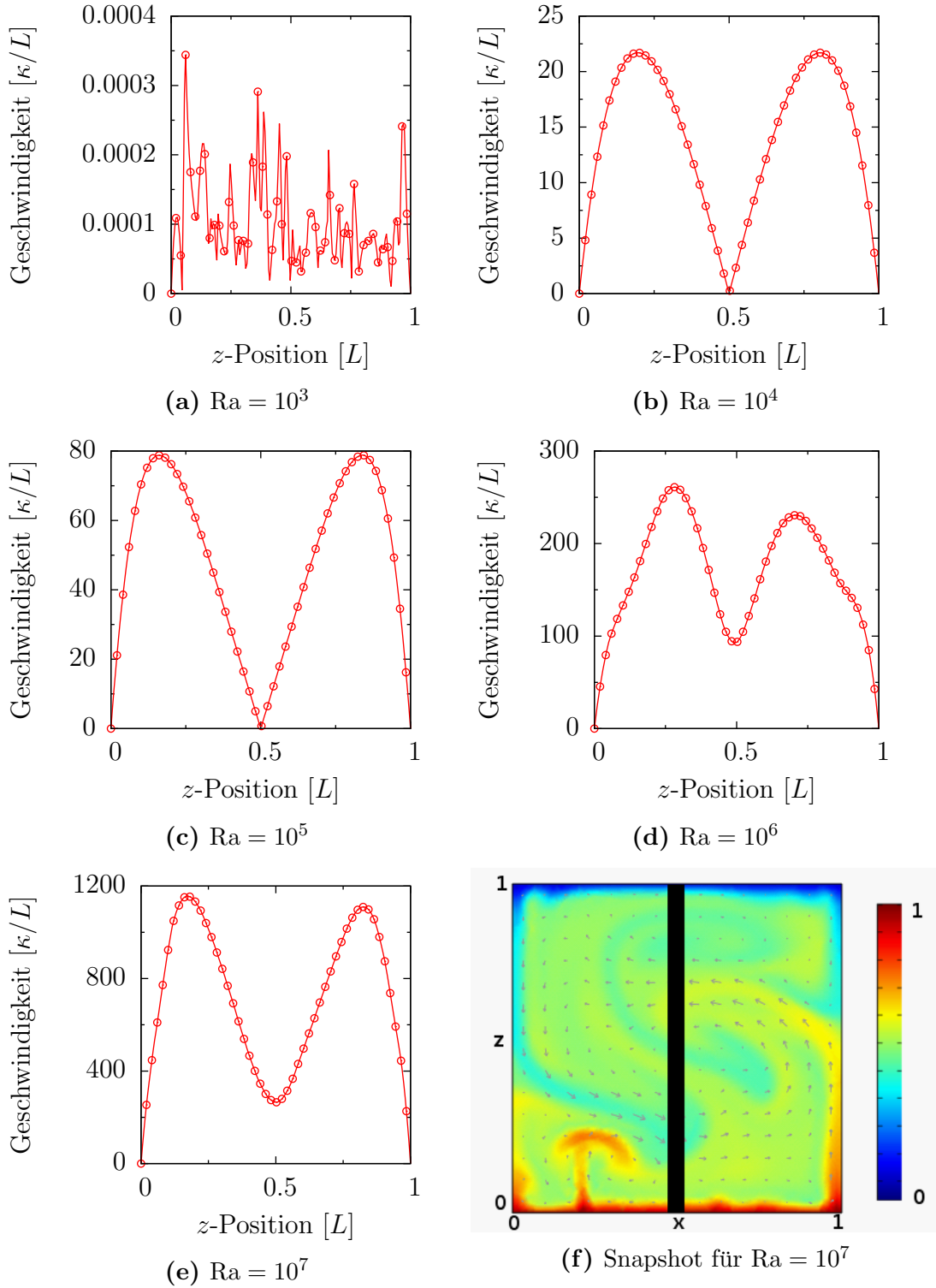
**Abbildung 6:** Ermittlung der Abbruchfrequenz einer Messung. Dieses Beispiel zeigt die Bestimmung der Abbruchfrequenz für die Messung der Temperatur in unmittelbarer Nähe der Platte.

Geschwindigkeit des Plumes ist invers proportional zur Breite der Senke bzw. des Hügels. Diese ist wiederum charakterisiert, durch die Frequenzzusammensetzung des Plumes im Fourierraum. In ?? ist eindeutig die größte Frequenz des Plume-Bündels zu erkennen. Diese Abbruchfrequenz ist direkt proportional zur durchschnittlichen Geschwindigkeit der Plumes in diesem Abstand von der Heizplatte.

Das Geschwindigkeitsprofil der unteren 10 cm ist in in ?? zu sehen. Das Profil der Abbruchfrequenzen  $f_c$  entspricht hier dem Verlauf des Geschwindigkeitsprofils. Der lineare Fit der ersten Werte zeigt, dass selbst an der Heizplatte eine Geschwindigkeit zu Messen ist.



**Abbildung 7:** Zu sehen ist die Abhängigkeit der Abbruchfrequenz  $f_c$  in Abhängigkeit von dem Abstand von der Heizplatte. Dieser Verlauf entspricht auch dem Geschwindigkeitsprofil in der Zelle, da die Geschwindigkeit proportional zur Abbruchfrequenz ist.



**Abbildung 8:** Geschwindigkeitsprofil numerisch berechnet bei verschiedenen Rayleigh- Zahlen, gemittelt über Achse durch das Zentrum der Box, gekennzeichnet durch schwarze Linie in (??). Dabei wird lediglich jeder vierte Messpunkt der Übersicht halber durch einen Kreis dargestellt.